

過圧密粘土のクリープ特性について

神戸大学工学部 正員 軽部大蔵
京都大学大学院 学生員 森試一郎

1 はじめに

同一含水比をもち、かつ異なるた過圧密化ともつ粘土の力学的な性質の相違を調べるために、またそのような性質の相違が何から由来するかとも考察するために、一連の三軸クリープ試験を行ない、有効応力の立場からこの結果を整理してみた。

2 試料と試験法

試料は少量のベントナイトを加えた練りかえしカオリーン粘土で、大型圧密リングを用い成型がきくように圧密した。(LL.54%, PL.30%, 粘土含有量60%)、試験装置はN.G.I.型三軸圧縮試験機を用いた。含水比(以下wと略記)一定の条件で試験をする必要があるとのことで、まず等方圧密試験を行ない、w-log P曲線を定めた。この試験より圧密応力 2.0 kg/cm^2 の正規圧密粘土(図-1のO印)と同じ含水比をもつ過圧密粘土として 2.5 kg/cm^2 で圧密し、 1.0 kg/cm^2 まで膨潤させたもの(口印)、 $3.1 \text{ kg/cm}^2 \rightarrow 0.5 \text{ kg/cm}^2$ (△印)、 $3.8 \text{ kg/cm}^2 \rightarrow 0.25 \text{ kg/cm}^2$ (×印)の3種類を選んだ。また正規圧密粘土として 1.0 kg/cm^2 で圧密したもの(●印)も以下の試験で採用した。もちろんこの粘土の含水比は他の4種類のものより高い。次に、クリープ試験の応力条件を定めたりために、以上の5種類の試料について、ひずみ制御式の圧密非排水三軸試験を行なった。クリープ試験は上記の三軸試験結果より得られた主応力軸と 45° を各方向に作用する3有効応力経路上の応力の組み合いで行なった。非排水せん断による応力経路とクリープ試験の応力条件を図-1に示した。クリープ試験は所定の圧密過程がほとんど終了してから主応力差($\sigma_1 - \sigma_3$)を一瞬に載荷して以後6~7日間行なった。この間軸方向圧縮による断面積の増大に伴う応力を一定に保つため、荷重はダイアルゲージの読みを測定して順次増加させていった。なお、温度条件は常に 20°C に保つた。

3 クリープ試験結果

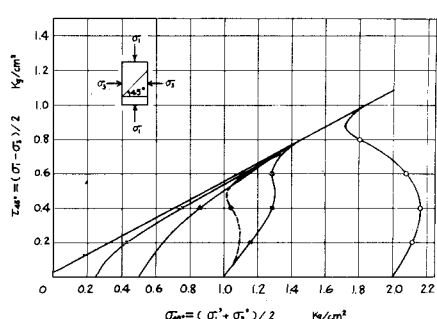


図-1

このクリープ試験は一応排水状態にはなっていますが、図-1の有効応力を与えたため、含水比の変化はわずかであると思われたが、実際には正規圧密したものでは約1000分までは含水比が減少し、その後は増加する。過圧密したものでは最初から含水比が増加するなどの変化がみられた。(図-2) この含水比の増加に伴なってわざかに強度は減少するだろ。図-3に示すクリープ曲線が長時間にわたって勾配をもつてそれによるものであるとも考えられる。しかし含水比増加のために生ずる断面積増加に対して応力を一定に保つための荷重増加は行なわれなかつたので、応力はわずかに減少していくはずである。したがってクリー-

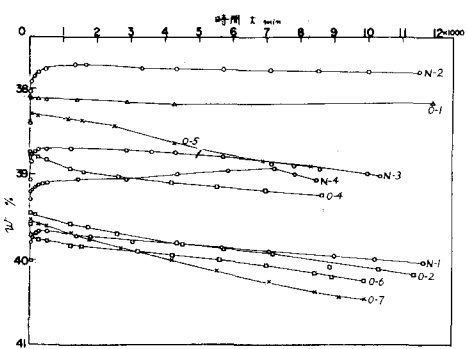


図-2

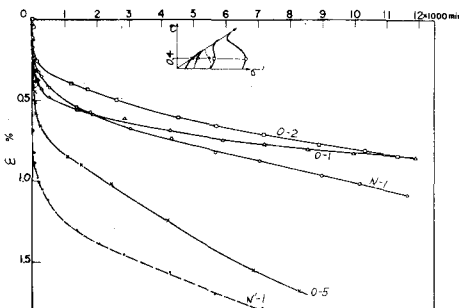


図-3

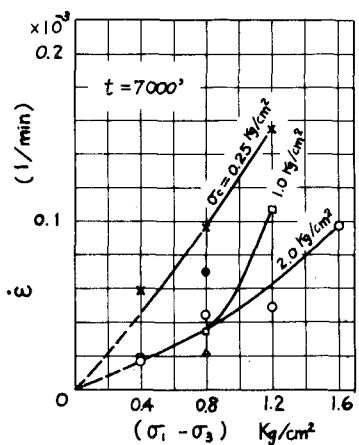


図-4

ブ中の含水比増加がクリープ曲線に与えた影響はどれだけのものかは不明である。クリープ曲線の一例を図-3に示す。ここにあけたひずみとはせん断ひずみを示すために、軸方向ひずみから体積変化の影響分 $\Delta V/3V$ を補正したものを用いてい。この図-3は $(\sigma_1 - \sigma_3) = 0.8 \text{ kg/cm}^2$ で、各応力経路の異なったものと示している。他の主応力差のものもこの図と類似の曲線となる。

クリープ現象を表現するにはひずみを、あるいはひずみ速さをなどと用いるのが普通であるが、どちらを用いてもこの結果は類似しているので以下では主としてひずみ速さをとりあげることにする。ここでまずクリープ曲線上の 100 分, 2000 分, 7000 分、におけるひずみ速さと主応力差の関係を示めた。7000 分のものを図-4に示す。この実験では主応力差として選んだ値が少ないので、この図-4の曲線は決定しにくいくらいである。しかし、以前での実験で得られたものを参考にして、この図-4を描いた。これより一定のひずみ速さに対する主応力差を読みとり、図-1に書き込むと図-5の等ひずみ速さ線が得られる。これによると現在受けている有効垂直応力 σ_{eff} が小さいものが同じせん断応力のものでは、ひずみ速さが小さくなることは必ずしも云えないことがわかる。すなわち、せん断応力が低いと、圧密条件 $2.5 \text{ kg/cm}^2 \rightarrow 1.0 \text{ kg/cm}^2$ の過圧密した試料が 2.0 kg/cm^2 で正規圧密した試料よりひずみ速さが小さく、ひずみにくいという結果が見られる。これは過圧密によって受けた有効垂直応力の残存のためと考えられる。そこで、過圧密の影響を調べるために、 $\dot{\epsilon}_c = C/P_c$ (C : 現在受けているせん断応力, P_c : 過去の最大圧密応力) の関係を示すと、図-6となる。これによると、正規圧密地盤 (0 kg) は原点を通る直線上にあり、過圧密地盤ではせん断応力がある値より小さくなるとこの直線にのらないが、ある程度せん断応力が大きくなるとはずれてきて、ひずみ速さは C/P_c ではなく想定できなくなつてく

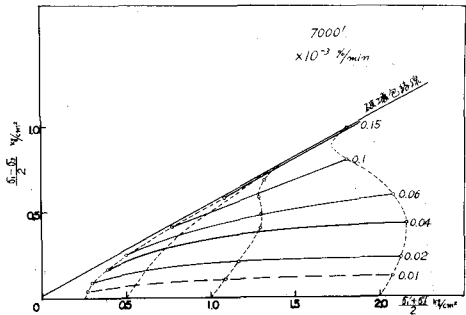


図-5

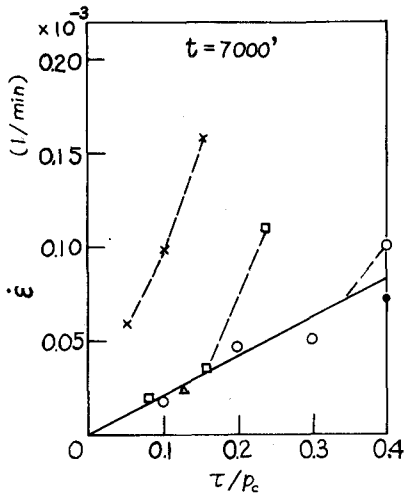


図-6

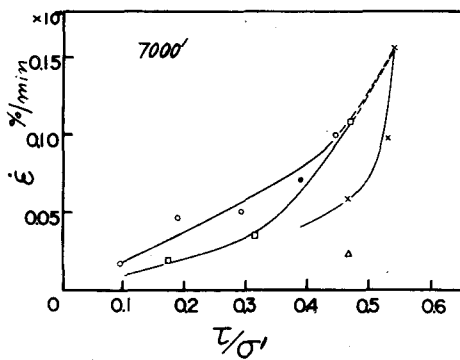


図-7

3. 過圧密比の大きいものは小さいせん断応力でこの直線からはずれるのは、現在受けている有効垂直応力 σ' が P_0 と比べて相当に小さいので、小さいせん断応力を受けただけで σ' が P_0 にてて代わるためである。それで P_0 に代えて現在受けている有効垂直応力 σ' を用いてひずみ速さを ϵ/σ' の関係を調べてみると図-7のようになる。これによって ϵ/σ' が大きくなつてくことにしたがい、ひずみ速さを ϵ/σ' にして想定されることはわかる。また、破壊に近づくにつれてすべり面上での粒子配列は正規圧密粘土、過圧密粘土とともに(過圧密比に比例する)同一の形態に近づくと言える。

以上のことより、あるせん断応力以下では、過圧密粘土は正規圧密粘土よりも仮定すべり面上の有効垂直応力に対して、過圧密によって生じた内部潜在有効垂直応力が相当な部分を占めている。そして、せん断応力が大きくなつてくと、しだいに過圧密の影響は消えてゆき、有効垂直応力は現在受けている部分が全体を占めるようになつてく。今までのことがわかる。

一方、正規圧密粘土では等ひずみ速さ線は原点を通る直線となることがわかる。ここでとは實際にはせん断応力と真の垂直有効応力比 ϵ/σ' (σ' : 真の垂直有効応力) に対する決まりされたものであると仮定する。今、図-5の等ひずみ速さ線上で 1 つのひずみ速さを選ぶと、そのひずみ速さ線と正規圧密粘土に対する応力経路の支点 A と原点 O を結ぶ直線は正規圧密粘土に対する等ひずみ速さ線となる。(図-8) ある過圧密粘土の有効応力経路を選び、この応力経路と過圧密粘土に対する等ひずみ速さ線(ひずみ速さ)の支点 B をとといひひずみ速さを 7000 分に亘りもつ粘土の応力状態(す、 σ')を表わす。ところが、仮定によれば B といひひずみ速さをもつ粘土の真の応力状態は直線 OA 上の上になければならぬはずである。よって、B を通り軸に平行な直線と OA との支点を C とすると、

過圧密粘土の真の応力状態はC点で表わされる。よって、BCの直線が過圧密により持つべき潜在有効直通応力であるといえる。この1つの過圧密粘土の有効応力経路を通じて、BCと過ひずみを考慮すればせん断応力が大きくなるにつれてOかどのように変化してゆくかがわかる。破壊にちかづくところは減少する。

Oがクリープ時間とともにどのように変化してゆくかを見るために、主応力差と往意に選んだひずみをパラメーターにとって調べてみると図-9が得られる。これにOと時間に対してOはほとんど変化しないようだが、若干小さくなる傾向がみられる。

図-8での曲線の等ひずみ速さ線は一定含水比に対するもので、直線の等ひずみ速さ線は含水比が異なっているものである。これと(O- $\sigma_1-\sigma_3$)空間に移すと図-10が得られる。この図では正規圧密粘土に対す等ひずみ速さ線は曲線DEFで表わされ、この曲線の(O- σ_1)平面上への投影が図-8で見たように直線になるということである。往意のクリープ時間に対して(O- $\sigma_1-\sigma_3$)空間内で各ひずみ速さに対し、等ひずみ速さ面が形成されることがわかる。

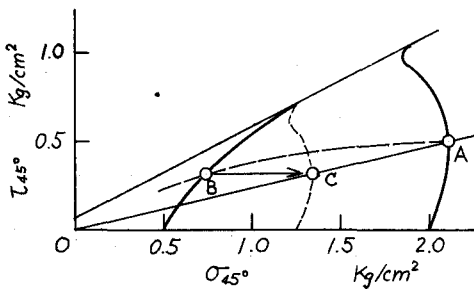


図-8

参考文献

軽井丈蔵：粘性土の排水クリープ試験
工木学会関西支部年次講演会(昭和)

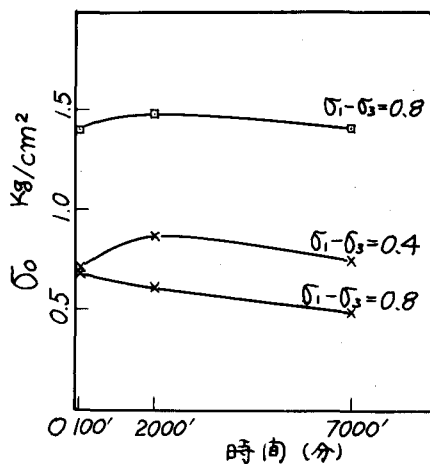


図-9

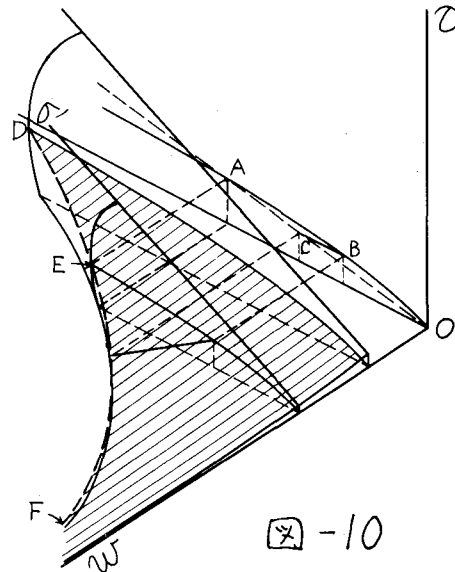


図-10